

НЕЛИНЕЙНЫЕ КОЛЕБАНИЯ ТРЕХСЛОЙНЫХ НЕОДНОРОДНЫХ КРУГОВЫХ ЦИЛИНДРИЧЕСКИХ ОБОЛОЧЕК

С. А. Гусейнов

Докторант

Кафедра «Теоретическая и строительная механика»

Азербайджанский

архитектурно-строительный университет

ул. А. Султанова, 5,

г. Баку, Азербайджан, Аз1073

E-mail: fisayev@qu.edu.az

У статті досліджується задача про нелінійні коливання тришарових неоднорідних кругових циліндричних оболонок. Передбачається, що шари виготовлені з різних неоднорідних ізотропних матеріалів і пружні характеристики є безперервними функціями координати товщини оболонки. Беручи справедливість гіпотези Кірхгофа-Лява для всього елемента, отримана система рівнянь руху оболонки з урахуванням геометричної нелінійності. Отримане аналітичне рішення задачі

Ключові слова: тришарові кругові циліндричні оболонки, нелінійні коливання, неоднорідний матеріал, амплітудно-частотні характеристики

В статье исследуется задача о нелинейных колебаниях трехслойных неоднородных круговых цилиндрических оболочек. Предполагается, что слои изготовлены из различных неоднородных изотропных материалов и упругие характеристики являются непрерывными функциями координаты толщины оболочки. Принимая справедливость гипотезы Кирхгофа-Лява для всего элемента, получена система уравнений движения оболочки с учетом геометрической нелинейности. Получено аналитическое решение задачи

Ключевые слова: трехслойные круговые цилиндрические оболочки, нелинейные колебание, неоднородный материал, амплитудно-частотные характеристики

1. Введение

Различные задачи об устойчивости и колебании одно- и многослойных пластин и оболочек, изготовленных из однородно упругих материалов, в современной научной литературе освещено достаточно [1–4]. Однако когда конструкции изготовлены из неоднородных материалов и рассматриваются геометрически нелинейные задачи, научные исследования в этой области редко встречаются в литературе.

Поэтому в данной статье дается постановка задачи исследования нелинейных колебаний трехслойных круговых цилиндрических оболочек, слои которого изготовлены из различных неоднородно упругих материалов.

2. Анализ литературных данных

В статье [5] исследуется задача устойчивости и колебании непризматических слоистых призматических элементов мембран. В [6] исследованы колебательные процессы полярно-ортотропных неоднородных круговых пластинок. В [7] дана постановка и исследована задача о колебании двухслойных цилиндрических оболочек из функционально неоднородного материала. В [8] изучается собственные колебания симметрично слоистых цилиндрических оболочек из материала с переменными характеристиками. В статье [9] дана постановка и исследованы собственные колебания нано-пластинок на основе трехмерной теории упругости. В [10] проанализи-

рованы аэроупругое устойчивость и бифуркация слоистых панелей из нелинейного материала. В [11] задача о собственных колебаниях слоистых композитных пластинок исследована на основе метода конечных элементов. В статье [12] исследуется динамические процессы слоистых стержневых систем. В [13] рассмотрены задачи о нелинейной устойчивости и закритическом поведении эксцентрично сжатой цилиндрической оболочки из функционально неоднородного материала.

3. Постановка задачи

Рассмотрим трехслойную круговую цилиндрическую оболочку, изготовленную из неоднородно упругого материала. Координатная система выбрана следующим образом: оси Ox и Oy расположены в срединной плоскости, среднего слоя пластинки, ось Oz – направлена перпендикулярно им.

Связь между компонентами напряжений и деформаций на основе обобщенного закона Гука имеет вид:

$$\begin{aligned} \sigma_{11}^i &= \lambda_{11}^i \varepsilon_{11} + \lambda_{12}^i \varepsilon_{22}, \quad \sigma_{22}^i = \\ &= \lambda_{21}^i \varepsilon_{11} + \lambda_{22}^i \varepsilon_{22}, \quad \sigma_{12}^i = \lambda_{33}^i \varepsilon_{12} \quad (i=1,2,3). \end{aligned} \quad (1)$$

Здесь предполагается, что упругие характеристики материала слоев являются непрерывными функциями координаты толщины t . е.:

$$\lambda_{ij}^k = \lambda_{ij}^k \cdot a_i^k(z).$$

Используем гипотезу Кирхгофа-Лява для всей толщины элемента оболочки:

$$\epsilon_{11} = e_{11} - z x_{11}, \quad \epsilon_{22} = e_{22} - z x_{22}, \quad \epsilon_{12} = e_{12} - z x_{12}, \quad (2)$$

где e_{11}, e_{22}, e_{12} и x_{11}, x_{22}, x_{12} – бесконечно малые изменения деформации и кривизны срединной плоскости.

Компоненты усилий и моментов вычисляются по формулам:

$$T_{ij} = \int_{-h_1-h/2}^{-h/2} \sigma_{ij}^1 dz + \int_{-h/2}^{h/2} \sigma_{ij}^2 dz + \int_{h/2}^{h/2+h_2} \sigma_{ij}^3 dz, \quad (3)$$

$$M_{ij} = \int_{-h_1-h/2}^{-h/2} \sigma_{ij}^1 z dz + \int_{-h/2}^{h/2} \sigma_{ij}^2 z dz + \int_{h/2}^{h/2+h_2} \sigma_{ij}^3 z dz.$$

где h_1, h и h_2 – толщины соответствующих слоев. С учетом (1), (2) из (3) получим:

$$T_{11} = \bar{\lambda}_{11}^{-2} \cdot A_{11}^0 \cdot e_{11} + \bar{\lambda}_{12}^{-2} \cdot A_{12}^0 \cdot e_{22} - \bar{\lambda}_{11}^{-2} \cdot A_{11}^1 \cdot x_{11} - \bar{\lambda}_{12}^{-2} \cdot A_{11}^1 \cdot x_{22}, \dots, \quad (4)$$

$$M_{11} = \bar{\lambda}_{11}^{-2} \cdot A_{11}^1 \cdot e_{11} + \bar{\lambda}_{12}^{-2} \cdot A_{11}^1 \cdot e_{22} - \bar{\lambda}_{11}^{-2} \cdot A_{11}^2 \cdot x_{11} - \bar{\lambda}_{12}^{-2} \cdot A_{12}^2 \cdot x_{22}, \dots. \quad (5)$$

В этих формулах A_{ij}^k – обобщенные жесткостные характеристики.

Таким образом, получены общие выражения для усилий и моментов рассматриваемой неоднородной трехслойной цилиндрической оболочки в виде (4) и (5). В дальнейшем используя эти выражения, будут получены уравнения движения оболочки в точной и приближенной постановке.

4. Получение уравнений движения оболочки

Как известно [1], уравнения движения прямоугольных пластинок состоит из следующих уравнений:

$$\frac{\partial T_{11}}{\partial x} + \frac{\partial T_{12}}{\partial y} = \frac{\gamma_1 h_1 + \gamma h + \gamma_2 h_2}{g} \cdot \frac{\partial^2 u}{\partial t^2},$$

$$\frac{\partial T_{12}}{\partial x} + \frac{\partial T_{22}}{\partial y} = \frac{\gamma_1 h_1 + \gamma h + \gamma_2 h_2}{g} \cdot \frac{\partial^2 v}{\partial t^2}, \quad (6)$$

$$\frac{\partial^2 M_{11}}{\partial x^2} + 2 \frac{\partial^2 M_{12}}{\partial x \partial y} + \frac{\partial^2 M_{22}}{\partial y^2} + T_{11} x_{11} + 2 T_{12} x_{12} + T_{22} x_{22} + \frac{T_{22}}{R} = \frac{\gamma_1 h_1 + \gamma h + \gamma_2 h_2}{g} \cdot \frac{\partial^2 w}{\partial t^2}. \quad (7)$$

Здесь $\gamma_1, \gamma, \gamma_2$ – удельные веса материала слоев, g – ускорение силы тяжести, u, v, w – перемещения точек срединной плоскости по направлениям x, y, z – соответственно.

Используем связь между деформациями и кривизнами с компонентами перемещений с учетом геометрической нелинейности:

$$e_{11} = \frac{\partial u}{\partial x} + \frac{1}{2} \left(\frac{\partial w}{\partial x} \right)^2, \quad e_{22} = \frac{\partial v}{\partial y} + \frac{1}{2} \left(\frac{\partial w}{\partial y} \right)^2 - \frac{w}{R},$$

$$e_{12} = \frac{\partial u}{\partial y} + \frac{\partial v}{\partial x} + \frac{\partial u}{\partial x} \cdot \frac{\partial w}{\partial y},$$

$$x_{11} = \frac{\partial^2 w}{\partial x^2}, \quad x_{22} = \frac{\partial^2 w}{\partial y^2}, \quad x_{12} = \frac{\partial^2 w}{\partial x \partial y}. \quad (8)$$

С учетом (4), (5), (8) из (6), (7) получается система нелинейных уравнений движения относительно перемещений рассматриваемой оболочки в общем виде:

$$L_i(U_j) = \frac{\gamma_1 h_1 + \gamma h + \gamma_2 h_2}{g} \cdot \frac{\partial^2 u_j}{\partial t^2}, \quad (9)$$

$(i, j = 1, 2, 3), (u_j = u, v, w).$

Здесь L_i – полученные нелинейные дифференциальные операторы.

Следует отметить, что деформации срединной плоскости оболочки должны удовлетворять уравнению совместности деформации:

$$\frac{\partial^2 e_{11}}{\partial y^2} + \frac{\partial^2 e_{22}}{\partial x^2} - 2 \frac{\partial^2 e_{12}}{\partial x \partial y} = \left(\frac{\partial^2 w}{\partial x \partial y} \right)^2 - \frac{\partial^2 w}{\partial x^2} \cdot \frac{\partial^2 w}{\partial y^2} - \frac{1}{R} \frac{\partial^2 w}{\partial x^2}. \quad (10)$$

Как видно, полная система уравнений движения рассматриваемой трехслойной оболочки в точной постановке состоит из (9) и (10).

5. Приближенная постановка задачи

В общем виде решение системы уравнений (9) связано с большими математическими трудностями. Поэтому в практике часто используется приближенная постановка задачи. В этом случае предполагается, что в системе (6) можно отбросить инерционные силы. Тогда эти уравнения будут удовлетворены тождественно, если ввести функцию напряжений F следующими соотношениями:

$$T_{11} = \frac{\partial^2 F}{\partial y^2}, \quad T_{22} = \frac{\partial^2 F}{\partial x^2}, \quad T_{12} = - \frac{\partial^2 F}{\partial x \partial y}. \quad (11)$$

Для преобразования уравнений (7), (10) к необходимому виду, надо выразить e_{ij} через T_{ij} и x_{ij} из соотношений (4). Тогда после некоторых преобразований из (4) находим:

$$e_{11} = \alpha_{11} T_{11} + \alpha_{12} T_{22} + b_{11} x_{11} + b_{12} x_{22},$$

$$e_{22} = \alpha_{21} T_{11} + \alpha_{22} T_{22} + b_{21} x_{11} + b_{22} x_{22}, \quad (12)$$

$$e_{12} = \alpha_{33} T_{12} + b_{33} x_{12}.$$

$$M_{11} = r_{11} T_{11} + r_{12} T_{22} + R_{11} x_{11} + R_{12} x_{22},$$

$$M_{22} = r_{21} T_{11} + r_{22} T_{22} + R_{21} x_{11} + R_{22} x_{22}, \quad (13)$$

$$M_{12} = r_{33}T_{12} + R_{33}x_{12}.$$

В этих формулах коэффициенты a_{ij} , b_{ij} , r_{ij} , R_{ij} выражаются через обобщенные жесткостные характеристики.

Подставляя выражения (12), (13) в уравнения (7) и (10), после некоторых преобразований получим следующую систему уравнений нелинейных колебаний рассматриваемой оболочки:

$$d_1 \left(\frac{\partial^4 F}{\partial x^4} + \frac{\partial^4 F}{\partial y^4} \right) + d_2 \frac{\partial^4 F}{\partial x^2 \partial y^2} + d_3 \left(\frac{\partial^4 w}{\partial x^4} + \frac{\partial^4 w}{\partial y^4} \right) + d_4 \frac{\partial^4 w}{\partial x^2 \partial y^2} + \frac{1}{R} \frac{\partial^2 F}{\partial x^2} + L_1(w, F) = \frac{\gamma_1 h_1 + \gamma h + \gamma_2 h_2}{g} \cdot \frac{\partial^2 w}{\partial t^2}. \quad (14)$$

$$D_1 \left(\frac{\partial^4 F}{\partial x^4} + \frac{\partial^4 F}{\partial y^4} \right) + D_2 \frac{\partial^4 F}{\partial x^2 \partial y^2} + D_3 \left(\frac{\partial^4 w}{\partial x^4} + \frac{\partial^4 w}{\partial y^4} \right) + D_4 \frac{\partial^4 w}{\partial x^2 \partial y^2} + \frac{1}{R} \frac{\partial^2 w}{\partial x^2} = -\frac{1}{2} L_1(w, F). \quad (15)$$

Здесь d_i и D_i выражаются через обобщенные жесткостные характеристики пластинки и через L_1 – обозначен следующий нелинейный оператор:

$$L_1(\varphi, \tau) = \frac{\partial^2 \varphi}{\partial x^2} \frac{\partial^2 \tau}{\partial y^2} + \frac{\partial^2 \varphi}{\partial y^2} \frac{\partial^2 \tau}{\partial x^2} - 2 \frac{\partial^2 \varphi}{\partial x \partial y} \cdot \frac{\partial^2 \tau}{\partial x \partial y}. \quad (16)$$

Таким образом, в приближенной постановке задачи уравнение нелинейных колебаний трехслойной неоднородной оболочки получены в виде (14) и (15).

6. Метод решения задачи

Аналогично работе [4], в частном случае задача сводится к исследованию колебаний полосы единичной ширины, имеющей размер вдоль дуги равной.

В этом случае можно показать, что уравнение движения получится в виде:

$$\left(D_3 - D_1 \frac{d_3}{d_1} \right) \frac{\partial^4 W}{\partial y^4} - \sigma h \frac{\partial^2 W}{\partial y^2} - \frac{\gamma_1 h_1 + \gamma h + \gamma_2 h_2}{g} \cdot \frac{\partial^2 W}{\partial t^2} - \frac{\sigma h}{R} = 0. \quad (17)$$

При шарнирном закреплении краев полосы выражения для прогиба можно выбирать в виде:

$$W = f \sin \frac{\pi y}{b}. \quad (18)$$

Величину σ , входящую в (17), найдем из условия закрепления краев. Взаимное сближение краев принимаем равным нулю:

$$\Delta = -\int_0^b \frac{\partial v}{\partial y} dy = 0. \quad (19)$$

Из выражений (3) и (5) получим:

$$\frac{\partial v}{\partial y} = -\frac{\sigma h}{A_{11}^0} + \frac{A_{11}^1}{A_{11}^0} \cdot \frac{\partial^2 W}{\partial y^2} - \frac{1}{2} \left(\frac{\partial W}{\partial y} \right)^2 + \frac{W}{R}. \quad (20)$$

Подставляя (18) в (20) из условия (19), нетрудно получить:

$$\sigma = \frac{A_{11}^0}{h} \cdot \left[-\frac{A_{11}^1}{A_{11}^0} \cdot f \cdot \frac{2\pi}{b^2} - \frac{\pi^2}{4} \cdot \frac{f^2}{b^2} + \frac{2}{\pi} \cdot \frac{f}{R} \right]. \quad (21)$$

С учетом (21) уравнение (17) решается методом Бубнова-Галеркина:

$$\int_0^b \left\{ \left(D_3 - D_1 \frac{d_3}{d_1} \right) \frac{\partial^4 W}{\partial y^4} - A_{11}^0 \cdot \left[-\frac{A_{11}^1}{A_{11}^0} \cdot f \cdot \frac{2\pi}{b^2} - \frac{\pi^2}{4} \cdot \frac{f^2}{b^2} + \frac{2}{\pi} \cdot \frac{f}{R} \right] \frac{\partial^2 W}{\partial y^2} - \frac{A_{11}^0}{R} \cdot \left[-\frac{A_{11}^1}{A_{11}^0} \cdot f \cdot \frac{2\pi}{b^2} - \frac{\pi^2}{4} \cdot \frac{f^2}{b^2} + \frac{2}{\pi} \cdot \frac{f}{R} \right] - \frac{\gamma_1 h_1 + \gamma h + \gamma_2 h_2}{g} \cdot \frac{\partial^2 W}{\partial t^2} \right\} \cdot \sin \frac{\pi y}{b} dy = 0. \quad (22)$$

После некоторых преобразований из (22) получается следующее уравнение:

$$\frac{d^2 \xi}{dt^2} + \omega_{00}^2 \phi(\xi) = 0. \quad (23)$$

Здесь введены следующие обозначения:

$$\omega_{00}^2 = \frac{\pi^4}{9} \cdot \frac{c^2 h_1^2}{b^4} \cdot \left[1 + \frac{96}{\pi^6} \cdot \left(\frac{b^2}{Rh} \right)^2 \right], \quad \omega_{11}^2 = \frac{c^2 h_1^2}{b^4},$$

$$c^2 = \frac{E_{10} g}{\gamma_1 \delta_{12} + \gamma + \delta_{21} \gamma_2}, \quad \delta_{21} = \frac{h_2}{h}, \quad \delta_{12} = \frac{h_1}{h},$$

$$\Phi_2(\xi) = \frac{\omega_{11}^2}{\omega_0^2} \cdot (\alpha_1 \xi + \alpha_2 \xi^2 + \alpha_3 \xi^3),$$

$$\alpha_1 = \frac{1}{h} \left\{ \frac{\pi^4}{E_{01} h^2} \left(D_1 \frac{d_3}{d_1} - D_3 \right) \cdot + \left(\frac{2}{\pi R} - \frac{A_{11}^1}{A_{11}^0} \cdot \frac{2\pi}{b^2} \right) \cdot \frac{4A_{11}^0}{\pi R} \cdot \frac{b^4}{E_{10} h_1^2} \right\},$$

$$\alpha_2 = -\left\{ \left(\frac{2}{\pi R} - \frac{A_{11}^1}{A_{11}^0} \cdot \frac{2\pi}{b^2} \right) \cdot \frac{\pi^2 A_{11}^0 b^2}{E_{10} h_1^2} + \frac{\pi A_{11}^0}{R} \cdot \frac{b^2}{E_{10} h_1^2} \right\},$$

$$\alpha_3 = \frac{\pi^4}{4} \frac{A_{11}^0}{E_{10} h}. \quad (24)$$

Перейдем к исследованию амплитудно-частотных зависимостей для рассматриваемой оболочки. Принимая приближенное решение уравнения (23) в виде:

$$\xi = A \cos \omega t. \quad (25)$$

и удовлетворяя условию ортогональности, $\frac{1}{4}$ периода функции $\cos \omega t$ после некоторых преобразований получим:

$$v^2 = \frac{\omega_{11}^2}{\omega_{00}^2} \left(\alpha_1 + \frac{8}{3\pi} \alpha_2 A + \frac{3}{4} \alpha_3 \gamma^2 \right), \quad v^2 = \frac{\omega^2}{\omega_{00}^2}. \quad (26)$$

При конкретных видах функций неоднородности материала слоев, амплитудно-частотные характеристики рассматриваемой оболочки определяются на основе (26).

7. Численные расчеты и анализ

Для проведения численных расчетов функции неоднородности материала слоев принимались в следующем виде:

$$a_{11}^1(z) = 1 + \mu_1 \frac{z}{h_1}, \quad a_{11}^2(z) = 1 + \mu_2 \frac{z}{h_2}, \quad a_{11}^3(z) = 1 + \mu_3 \frac{z}{h_3}. \quad (27)$$

Результаты численных расчетов представлены на рис 1.

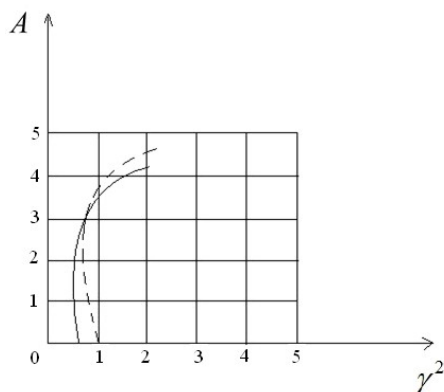


Рис. 1. График зависимости амплитудно-частотной характеристики оболочки на основе формулы (25).
1: $\mu_1 = \mu_2 = \mu_3 = 0$; 2: $\mu_1 = \mu_2 = \mu_3 = 1$

Здесь пунктирной линией отмечено решение аналогичной однородной задачи.

8. Выводы

В статье дана постановка задачи и получена система уравнений движения трехслойных неоднородных круговых цилиндрических оболочек в точном и приближенном вариантах. Получено решение задачи о нелинейных колебаниях трехслойных оболочек и найдена формула для определения амплитудно-частотной характеристики оболочки.

Анализ проведенных численных расчетов показывает, что учет неоднородности свойства материала слоев может существенно влиять на поведение конструкции в геометрически нелинейных задачах. В

конкретном данном случае влияние неоднородности на значение амплитудно-частотной зависимости составляет 7–10 %.

Литература

1. Вольмир, А. С. Устойчивость деформируемых систем [Текст] / А. С. Вольмир. – М.; Наука, 1967. – 984 с.
2. Вольмир, А. С. Нелинейная динамика пластин и оболочек [Текст] / А. С. Вольмир. – М.; Наука, 1972. – 432 с.
3. Ломакин, В. А. Теория упругости неоднородных тел [Текст] / В. А. Ломакин. – М., изд-во МГУ, 1978. – 245 с.
4. Алфутов, Н. А. Расчеты многослойных пластин и оболочек из композиционных материалов [Текст] / Н. А. Алфутов, П. А. Зиновьев, Б. Г. Попов. – М.; Машиностроение, 1984. – 264 с.
5. Rajasekaran, S. Stability and Vibration analysis of non-prismatic thin-walled composite spatial member of generic section [Text] / S. Rajasekaran, K. Nalinaa // J. Appl. Mechanics. – 2010. – Vol. 77, № 3. – P. 310–319.
6. Pentaras, D. Polar Orthotropic Inhomogeneous Circular plates: Vibration Tailoring [Text] / D. Pentaras, I. Elishakoff // J. Appl. Mechanics. – 2010. – Vol. 77, № 3. – P. 310–319.
7. Arshad, S. H. Vibration analysis of bilayered FGM cylindrical shells [Text] / S. H. Arshad, M. N. Naem, N. Sultana, A. G. Shah, Z. Iqbal // J. Appl. Mechanics. – 2011. – Vol. 81, № 8. – P. 319–343.
8. Viswanathan, K. K. Free vibration of symmetric angle-ply laminated cylindrical shells of variable thickness [Text] / K. K. Viswanathan, Jang Hyun Lee, Zainal Abdul Aziz // J. Acta Mechanica. – 2011. – Vol. 221, № 10. – P. 309–319.
9. Alibeigloo, A. Free vibration analysis of nano-plate using three-dimensional theory of elasticity [Text] / A. Alibeigloo // J. Acta Mechanica. – 2011. – Vol. 222, № 11. – P. 149–159.
10. Li, Peng The aeroelastic stability and bifurcation structure of subsonic nonlinear thin panels subjected to external excitation [Text] / Peng Li, Yiren Yang, Wei Xu, Guo Chen // J. Arch. Appl. Mech. – 2012. – Vol. 82. – P. 1251–1267.
11. Avades, K. Free vibration analysis of laminated composite plates with elastical lyrestained edges using FEM [Text] / K. Avades, N. D. Sharma // Central European Journal of Engineering. – 2013. – Vol. 3, № 2. – P. 306–315.
12. Singh, Bhagat Dynamic analysis of damping in layered and welded beams [Text] / Bhagat Singh, Bijoy Kumar Nanda // J. Engineering Structures. – 2013. – Vol. 48. – P. 10–20.
13. Dao, Van Dung Nonlinear buckling and post-buckling analysis of eccentrically stiffened functionally graded circular cylindrical shells under external pressure [Text] / Van Dung Dao, Le Kha Hoa // J. Thin-Walled Structures. – 2013. – Vol. 63. – P. 117–124